

УДК 532.516 + 517.958:532.5

## НЕСТАЦИОНАРНОЕ ДВИЖЕНИЕ ВЯЗКОЙ НЕСЖИМАЕМОЙ ЖИДКОСТИ В ТРУБКЕ С ДЕФОРМИРУЮЩЕЙСЯ СТЕНКОЙ

А. Е. Медведев

Институт теоретической и прикладной механики им. С. А. Христиановича СО РАН,  
630090 Новосибирск  
E-mail: medvedev@itam.nsc.ru

Рассматривается течение вязкой несжимаемой жидкости в деформирующейся трубке. Для течения с малыми числами Рейнольдса в трубке (при условии малости деформирования стенок) получены решения нестационарных трехмерных уравнений Навье — Стокса: обобщенное перистальтическое течение и течение при эллиптическом деформировании стенок сосуда. Установлено, что при малом нестационарном деформировании стенок трубки найденные решения удовлетворяют уравнениям и граничным условиям с погрешностью, на порядок меньшей, чем степень деформирования стенок трубки. Показано, что в случае эллиптического деформирования сосуда полученное решение хорошо согласуется с экспериментальными данными.

**Ключевые слова:** вязкая несжимаемая жидкость, уравнения Навье — Стокса, аналитическое решение, течение Пуазейля.

**Введение.** В настоящее время течение крови в сосудах часто описывается как течение Пуазейля [1]. При этом не учитывается деформирование стенок кровеносных сосудов, вызванное прохождением пульсовой волны и такими патологическими изменениями кровеносного русла, как аневризма (локальное вздутие сосуда) или стеноз (локальное сужение сосуда). Решение, соответствующее перистальтическому течению, недостаточно точно описывает реальные процессы [2, 3]. В работе [4] представлено перистальтическое решение, найденное методом возмущений, однако его асимптотическое разложение приводит к решениям, которые достаточно сложны для использования. Обзор современных работ, посвященных исследованию перистальтического движения, приведен в работе [5]. Известно, что в зависимости от диаметра кровеносного сосуда гладкомышечные элементы располагаются в нем под углом к его оси, составляющим от 30 до 90° [6–8]. Поэтому активное движение стенок сосуда отличается от перистальтического.

В работе [1. Гл. 6] рассматривалось установившееся течение вязкой несжимаемой жидкости по трубке с медленно меняющимся эллиптическим сечением. В основу анализа положена гидродинамическая теория смазки с медленным изменением площади сечения вдоль трубки. Решение определялось разложением в асимптотические ряды с учетом влияния инерции жидкости на характер течения. Ряд приближенных решений задачи о движении жидкости в трубке с деформирующейся стенкой получен в работах [8, 9].

Целью настоящей работы является получение решений, описывающих течение в сосуде с деформирующимися стенками с заданной степенью точности, а также решений,

описывающих течение жидкости в мелких сосудах при нестационарном малом деформировании стенок сосуда.

**Уравнения движения.** Рассмотрим трехмерное нестационарное движение вязкой несжимаемой жидкости. В цилиндрической системе координат  $(r, \varphi, z)$  система уравнений имеет вид [10]

$$\begin{aligned} \rho \left( \frac{\partial u}{\partial t} + u \frac{\partial u}{\partial r} + \frac{v}{r} \frac{\partial u}{\partial \varphi} + w \frac{\partial u}{\partial z} - \frac{v^2}{r} \right) &= -\frac{\partial p}{\partial r} + \mu \left( \nabla^2 u - \frac{u}{r^2} - \frac{2}{r^2} \frac{\partial v}{\partial \varphi} \right), \\ \rho \left( \frac{\partial v}{\partial t} + u \frac{\partial v}{\partial r} + \frac{v}{r} \frac{\partial v}{\partial \varphi} + w \frac{\partial v}{\partial z} + \frac{uv}{r} \right) &= -\frac{1}{r} \frac{\partial p}{\partial \varphi} + \mu \left( \nabla^2 v + \frac{2}{r^2} \frac{\partial u}{\partial \varphi} - \frac{v}{r^2} \right), \\ \rho \left( \frac{\partial w}{\partial t} + u \frac{\partial w}{\partial r} + \frac{v}{r} \frac{\partial w}{\partial \varphi} + w \frac{\partial w}{\partial z} \right) &= -\frac{\partial p}{\partial z} + \mu \nabla^2 w, \\ \frac{\partial(ru)}{\partial r} + \frac{\partial v}{\partial \varphi} + \frac{\partial(rw)}{\partial z} &= 0, \end{aligned} \quad (1)$$

где  $\mu = \text{const}$  — динамическая вязкость;  $\rho = \text{const}$  — плотность;  $w, u, v$  — осевая, радиальная и угловая компоненты вектора скорости соответственно;

$$\nabla^2 = \frac{\partial^2}{\partial r^2} + \frac{1}{r} \frac{\partial}{\partial r} + \frac{1}{r^2} \frac{\partial^2}{\partial \varphi^2} + \frac{\partial^2}{\partial z^2}.$$

Нестационарное движение (деформация) стенки трубки задается уравнением  $r = r_w(t, \varphi, z)$ . Схема течения в трубке приведена на рис. 1.

Известно, что при малых нагрузениях движение сыпучей среды описывается уравнениями, подобными уравнениям Навье — Стокса [11–13]. Поскольку при этом на границе возможно проскальзывание сыпучей среды [12, 13], для описания таких сред введен коэффициент  $n < 1$ . В этом случае на стенке трубки ( $r = r_w(t, \varphi, z)$ ) ставятся следующие условия для компонент вектора скорости жидкости:

$$u = \frac{\partial r_w}{\partial t}, \quad v = n \frac{\partial^2 r_w}{\partial t \partial \varphi}, \quad w = n \frac{\partial}{\partial t} \left( r_w \frac{\partial r_w}{\partial z} \right) \quad (2)$$

( $n \leq 1$  — постоянный коэффициент прилипания среды к стенке). Очевидно, что для вязкой жидкости коэффициент прилипания  $n = 1$ .

На оси трубки ( $r = 0$ ) должны выполняться условия

$$u = v = 0.$$

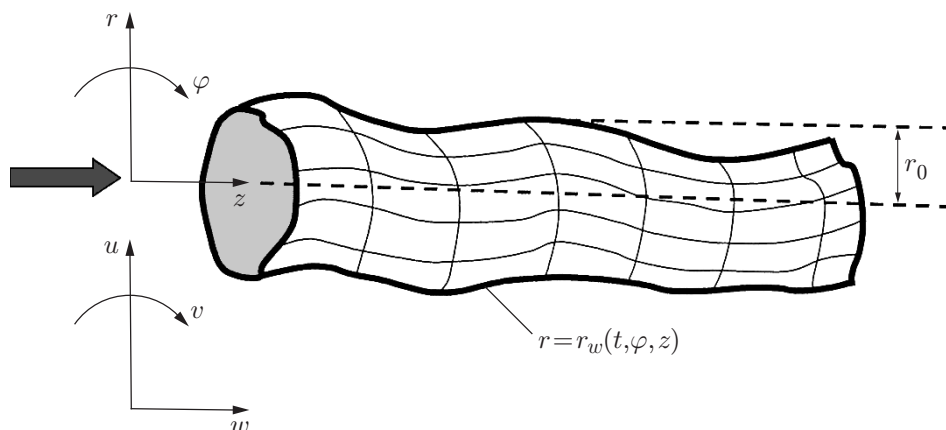


Рис. 1. Схема течения в трубке

**Приближенные модели течения.** Для малых кровеносных сосудов (мелких артерий и артериол) деформации стенок, очевидно, являются малыми. Течение в таких сосудах подобно течению Пуазейля. При моделировании кровеносных сосудов не всегда требуется высокая точность, так как исходные данные для решения задач о течении крови имеют большую погрешность. Будем искать приближенное решение полной системы уравнений Навье — Стокса (1) при условии малости числа Рейнольдса  $Re = \rho W r_0 / \mu$  ( $W$  — характерная продольная скорость) и параметра  $\varkappa$ , характеризующего степень отклонения формы стенки трубки от цилиндрической или эллиптической.

Далее приведены решения системы уравнений (1) при различных предположениях о структуре течения и законе деформирования стенки сосуда  $r = r_w(t, \varphi, z)$ .

**Обобщенное перистальтическое течение.** Перистальтическим решением [2, 3] называется решение, в котором угловая скорость отсутствует ( $v = 0$ ), а давление  $p$  линейно зависит только от продольной координаты  $z$ . Обычно перистальтическое решение используется при симметричном периодическом деформировании круглой трубы. Ниже предложено обобщение перистальтического решения на случай несимметричного деформирования трубы с эллиптическим сечением.

Представим перистальтическое решение в общем виде

$$\begin{aligned} r_w(t, \varphi, z) &= r_0 \frac{1 - \varkappa(H + f)}{\sqrt{\Phi}}, & u(t, r, \varphi, z) &= -\varkappa \frac{r_0}{\sqrt{\Phi}} \frac{r}{r_w} \frac{\partial H}{\partial t}, \\ v(t, r, \varphi, z) &= \varkappa n \frac{r}{r_w} \frac{r_0}{2} \Phi^{-3/2} \frac{\partial \Phi}{\partial \varphi} \frac{\partial H}{\partial t}, \\ w(t, r, \varphi, z) &= -\varkappa p_{10} e^{\varkappa p_{11}(t)} \frac{r_0}{4\mu} \left(1 - \frac{r^2}{r_w^2}\right) - r_0^2 n \left[1 - \frac{r^2}{r_w^2} \left(1 - \frac{\varkappa}{\sqrt{\Phi}} \frac{r_w}{r_0}\right)\right] \frac{\partial^2 H}{\partial t \partial z} + \\ &+ \varkappa^2 n \frac{r_0^2}{\Phi} \frac{r^2}{r_w^2} \left(\frac{\partial H}{\partial z} + \frac{\partial f}{\partial z}\right) \frac{\partial H}{\partial t}, \\ p(t, z) &= \varkappa p_{10} e^{\varkappa p_{11}(t)} \frac{z}{r_0} + p_2(t), \end{aligned} \quad (3)$$

где  $\Phi(\varphi) = 1 + A \cos(2\varphi) - B \sin(2\varphi)$  — уравнение эллипса;  $A, B$  — постоянные, причем  $A^2 + B^2 < 1$ ;  $H(t, z) = N \cos(2\alpha(t, z))$ ;  $\alpha(t, z) = 2\pi\varkappa(z - Ut)/L$ ;  $U$  — скорость перистальтического движения;  $N, L, p_{10}$  — произвольные постоянные;  $p_{11}(t), p_2(t), f(\varphi, z)$  — произвольные функции. Характерная скорость продольного движения  $W = \varkappa p_{10} r_0 / (4\mu)$ .

Несимметричность деформирования трубы определяется функцией  $f(\varphi, z)$ , при  $df/d\varphi \equiv 0$  деформирование трубы является симметричным. Эллиптичность сечения трубы определяется функцией  $\Phi(\varphi)$ , при  $\Phi(\varphi) \equiv 1$  сечение трубы представляет собой круг. При этом решение (3) переходит в решение для перистальтического течения с угловой скоростью  $v = 0$ .

Решение (3) обеспечивает точное выполнение граничных условий (2).

Поперечная и угловая скорости в решении (3) имеют третий порядок малости по параметру  $\varkappa$ , т. е.  $u \sim O(\varkappa^3), v \sim O(\varkappa^3)$ .

С точностью до членов порядка  $O(\varkappa^3)$  деформация стенки  $r_w$  равна

$$r_w(t, \varphi, z) \approx r_0 \frac{1 - [N + f(\varphi, z)]\varkappa}{\sqrt{\Phi(\varphi)}} + O(\varkappa^3).$$

Известное перистальтическое решение [2, 3] получено для другой функции деформации стенки сосуда:

$$r_w(t, \varphi, z) = r_0 [1 - \varkappa H(t, z)] \approx r_0 (1 - \varkappa) + O(\varkappa^3),$$

где  $H(t, z) = \cos(2\pi\varkappa(z - Ut)/r_0)$ .

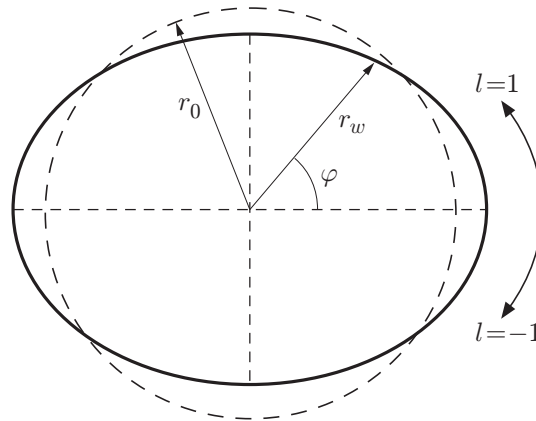


Рис. 2. Схема деформирования стенки сосуда эллиптическим шаблоном: сплошная линия — эллипс с длиной полуоси  $r_w$  (см. (4)), штриховая — окружность радиусом  $r_0$

**Течение с дифференциальным переносом масс (модель эллиптического деформирования трубки).** Рассмотрим медленное ползучее течение с малым числом Рейнольдса  $Re \sim O(\varkappa^2)$ . Стенка сосуда деформируется следующим образом: на трубку надевается эллиптический шаблон, который вращается с постоянной скоростью; сама трубка не вращается, имеет место только эллиптическое деформирование стенок трубки с постоянной угловой скоростью. Частицы жидкости в поперечном сечении совершают сложное движение, при этом происходит дифференциальный перенос масс [12, 13]. Результаты экспериментов по такому нагружению сыпучих сред (песка) и вязких жидкостей (глицерина и меда) приведены в [12].

Эллиптическое деформирование стенки сосуда представим в виде функции

$$r_w = r_0 \{1 + \varkappa [(m/2) \cos(2\alpha)]\}, \quad (4)$$

где  $\alpha(t, \varphi) = \varphi + \varphi_0 - 2\pi lt/t_0$ ;  $\varphi_0$  — начальное положение эллиптического шаблона;  $t_0$  — время, в течение которого эллиптический шаблон совершает один оборот;  $m$  — постоянная;  $l$  — параметр ( $l = 1$  при вращении эллиптического шаблона против часовой стрелки,  $l = -1$  при его вращении по часовой стрелке). Длины большой и малой полуосей эллипса равны  $r_{w \max} = r_0(1 + \varkappa m/2)$ ,  $r_{w \min} = r_0(1 - \varkappa m/2)$  соответственно. Схема деформирования эллиптического шаблона приведена на рис. 2.

При эллиптическом деформировании трубки решение имеет вид

$$\begin{aligned} r_w(t, \varphi, z) &= r_0 \left\{ 1 + \varkappa \left[ \frac{m}{2} \cos(2\alpha) - f \right] \right\}, \\ u(t, r, \varphi, z) &= 2\pi l \varkappa m \frac{r}{t_0} \left[ 2(2n - 1) \ln \left( \frac{r}{r_w} \right) + \frac{r_0}{r_w} \right] \sin(2\alpha), \\ v(t, r, \varphi, z) &= 4\pi l \varkappa m \frac{r}{t_0} \left[ (2n - 1) \ln \left( \frac{r}{r_w} \right) + n \frac{r_0}{r_w} \right] \cos(2\alpha), \\ w(t, r, \varphi, z) &= -\varkappa p_1(t) \frac{r_0}{4\mu} \left( 1 - \frac{r^2}{r_w^2} \right) - 2\pi n l \varkappa^2 m \frac{r_0^2}{t_0} \frac{r^2}{r_w^2} \sin(2\alpha) \frac{\partial f}{\partial z}, \\ p(t, r, \varphi, z) &= \varkappa p_1(t) \frac{z}{r_0} + p_2(t) + 16\pi(2n - 1) l m \frac{\mu}{t_0} \sin(2\alpha) G(r; \varkappa), \end{aligned} \quad (5)$$

где  $f(\varphi, z)$  — произвольная функция, обуславливающая искажение эллиптической формы шаблона;  $p_1(t)$ ,  $p_2(t)$  — произвольные функции. Характерная скорость продольного движения равна  $W = \varkappa p_1(t) r_0 / (4\mu)$ .

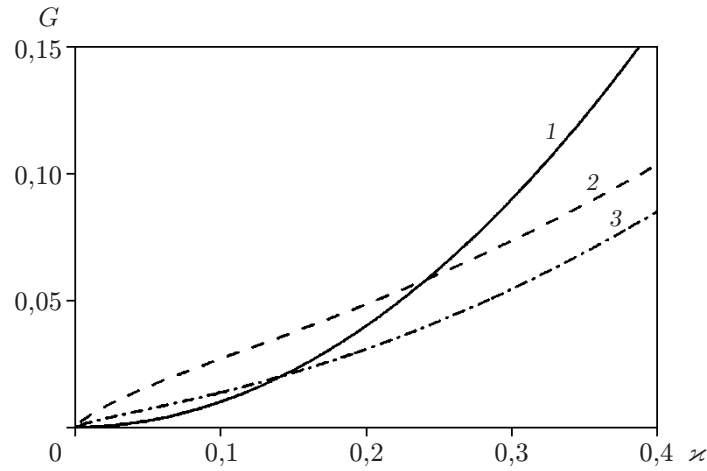


Рис. 3. Зависимость функции  $G$  от параметра  $\varkappa$ :  
 1 —  $G = \varkappa^2$ ; 2, 3 —  $G = \varkappa \ln(1/\varkappa^h + \varkappa/2)$  (2 —  $h = 0,1$ , 3 —  $h = 0,04$ )

Функция  $G(r; \varkappa)$  имеет вид

$$G(r; \varkappa) = \varkappa \ln \left( \frac{r}{r_0} \frac{a}{\varkappa^h} + b\varkappa \right), \tag{6}$$

где  $0 < h < 1$  — показатель степени;  $a > 0$ ,  $b > 0$  — произвольные положительные параметры. Функция  $G$  (6) обладает свойствами

$$G(0; \varkappa) = \varkappa \ln(b\varkappa), \quad \lim_{\varkappa \rightarrow +0} G(r; \varkappa) = 0.$$

На рис. 3 приведена зависимость функции  $G$  от параметра  $\varkappa$  при  $a = 1$ ,  $b = 0,5$  и  $h = 0,10; 0,04$ . Видно, что при больших значениях  $\varkappa$  значение функции  $G(r_0; \varkappa)$  меньше  $\varkappa^2$ , при малых значениях  $\varkappa$  значение функции  $G(r_0; \varkappa)$  больше  $\varkappa^2$ . Из рис. 3 следует, что при заданном значении  $\varkappa_*$  можно подобрать значение параметра  $h_*$ , при котором будет выполняться неравенство  $G(r_0; \varkappa_*) < \varkappa_*^2$ .

На оси трубки скорости  $u$  и  $v$  равны нулю. На стенке трубки граничные условия (2) для решения (5) выполняются точно.

Решение (5) удовлетворяет третьему и четвертому уравнениям (1) с точностью до  $O(\varkappa^2)$ . Для первого уравнения системы (1) погрешность решения (5) пропорциональна величине  $dG(r; \varkappa)/dr - \varkappa/r$ , для второго уравнения системы (1) погрешность этого решения порядка  $G(r; \varkappa)/r$ . Согласно (6) можно подобрать параметр  $h$ , так чтобы погрешность решения (5) для первого и второго уравнений системы (1) была порядка  $O(\varkappa^2)$ .

Погрешность, с которой решение (5) удовлетворяет уравнениям (1), пропорциональна  $1/r$ . Поэтому решение (5) удовлетворяет уравнениям (1) с точностью до  $O(\varkappa^2)$  только при  $r > 1/\varkappa$ .

Заметим, что радиальная  $u$  и угловая  $v$  скорости не зависят от вязкости жидкости и являются величинами первого порядка малости по параметру  $\varkappa$ .

Рассмотрим более подробно движение жидкости, описываемое решением (5). Продольное движение жидкости в сосуде описывается известным решением Пуазейля (уравнением для продольной скорости  $w$ ) с дополнительным слагаемым, пропорциональным квадрату малого параметра  $\varkappa$  и производной от функции  $f(\varphi, z)$ . Движение жидкости в поперечном сечении сосуда имеет более сложный характер. В процессе деформирования стенки сосуда (4) все точки среды движутся по замкнутым траекториям с различными периодами вращения вокруг центра эллипса. В работе [12] этот эффект называется эффектом дифференциального вращения, или эффектом направленного переноса масс.

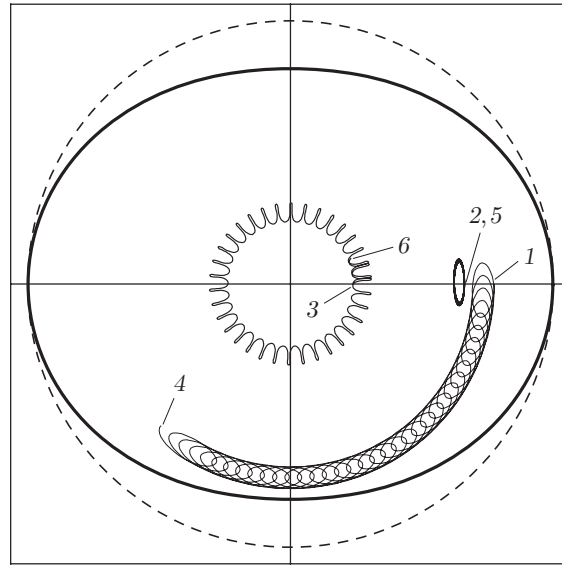


Рис. 4. Траектории движения трех точек в течение 17 оборотов эллиптического шаблона:

1–3 — начальное положение точек, 4–6 — конечное положение точек; штриховая линия — окружность радиусом  $r_{w \max}$ , сплошная линия — эллиптический шаблон

Движение точки  $\{r_*(t), \varphi_*(t)\}$  с начальными координатами  $\{r_*(0), \varphi_*(0)\}$  описывается системой уравнений

$$\begin{aligned} \frac{dr_*(t)}{dt} &= 2\pi l \varkappa m \frac{r_*}{t_0} \left[ 2(2n - 1) \ln \left( \frac{r_*}{r_w(t, \varphi_*, z)} \right) + \frac{r_0}{r_w(t, \varphi_*, z)} \right] \sin(2\alpha(t, \varphi_*)), \\ \frac{d\varphi_*(t)}{dt} &= 4\pi l \varkappa m \frac{1}{t_0} \left[ (2n - 1) \ln \left( \frac{r_*}{r_w(t, \varphi_*, z)} \right) + n \frac{r_0}{r_w(t, \varphi_*, z)} \right] \cos(2\alpha(t, \varphi_*)). \end{aligned} \quad (7)$$

При вращении эллиптического шаблона происходит интенсивное перемешивание жидкости (рис. 4). На рис. 4 представлены траектории движения трех точек при вращении эллиптического шаблона по часовой стрелке (17 оборотов). Значение произведения  $\varkappa m = 0,2$ , средний радиус  $r_0 = 1$ , угловая скорость вращения шаблона  $1/t_0 = 1$ . Функция дополнительной деформации стенки сосуда имеет вид  $f(\varphi, z) = 0$ . Начальный угол поворота для всех трех точек равен  $\varphi_*(0) = 0$ , начальная координата точек 1, 2, 3 равна  $r_*(0) = 0,95r_{w \min}$ ;  $0,81r_{w \min}$ ;  $0,29r_{w \min}$  соответственно. Точка 1 мигрирует по часовой стрелке (общее направление смещения совпадает с направлением вращения шаблона) до положения 4, а точка 2 совершает эллиптическое вращение вокруг начального положения (ее конечное положение 5 совпадает с начальным). Точка 3 перемещается против часовой стрелки и совершает оборот вокруг центра. На втором обороте ее траектория не совпадает с траекторией на первом обороте (конечное положение точки — положение 6). Один виток точки совершают за половину оборота эллиптического шаблона. Поэтому в работе [12] половина оборота циклического шаблона называется циклом нагружения. В результате вращения эллиптического шаблона в среде накапливаются “остаточные” смещения. Смещение точек происходит по направлению и против направления движения часовой стрелки. Точки, расположенные ближе к стенке, смещаются по часовой стрелке. Точки, лежащие ближе к центру, смещаются на меньшее расстояние и в некоторый момент начинают смещаться против часовой стрелки. Чем ближе к центру находится точка, тем больше ее угловое смещение, т. е. вблизи центра и стенки скорость углового смещения

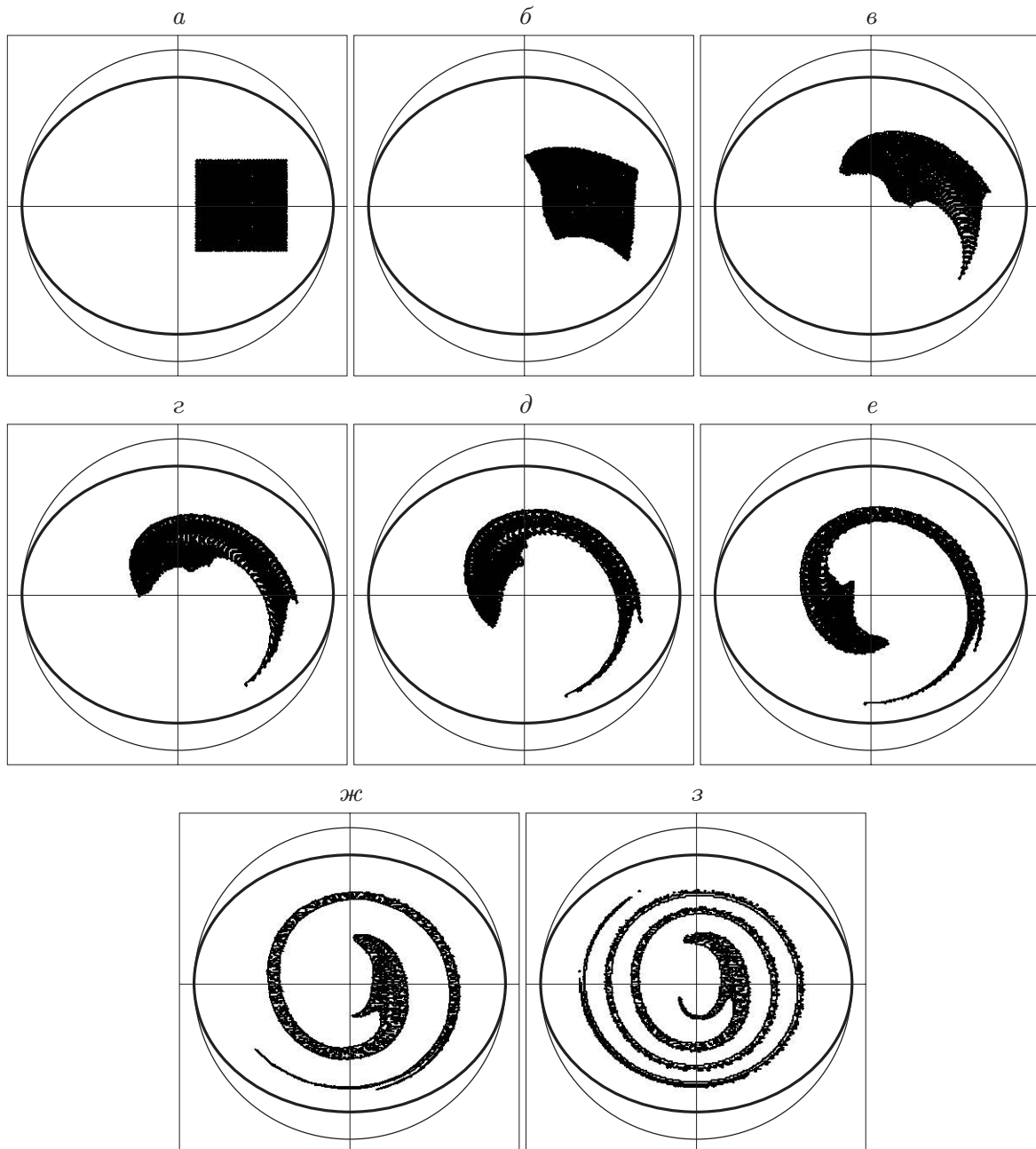


Рис. 5. Изменение формы квадратной области при вращении эллиптического шаблона по часовой стрелке:

*a* —  $N_{ell} = 0$ ; *б* —  $N_{ell} = 1$ ; *в* —  $N_{ell} = 3$ ; *г* —  $N_{ell} = 5$ ; *д* —  $N_{ell} = 7$ ; *е* —  $N_{ell} = 10$ ;  
*ж* —  $N_{ell} = 17$ ; *з* —  $N_{ell} = 34$

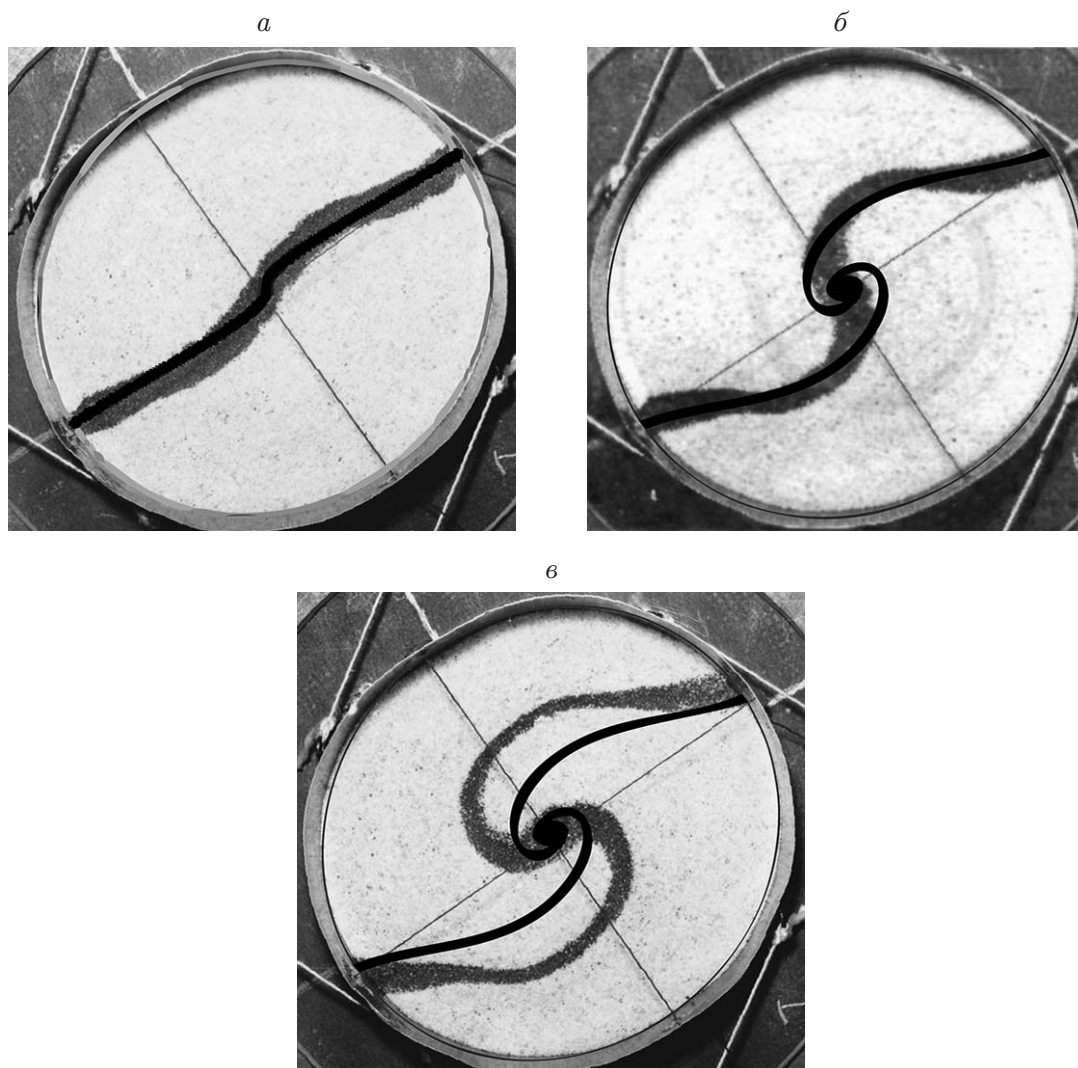


Рис. 6. Экспериментальные (серые линии) и расчетные (черные линии) картины деформирования сухого кварцевого песка после 3 (*a*), 10 (*б*) и 20 (*в*) циклов нагружения

точек наибольшая, но эти смещения происходят в противоположных направлениях. Из уравнений (7), в которые вязкость жидкости не входит, следует, что скорость смещения точек не зависит от вязкости жидкости.

На рис. 5 показана деформация первоначально квадратной области при вращении эллиптического шаблона. Параметры геометрии области и шаблона такие же, как на рис. 4. Максимальное количество оборотов шаблона  $N_{ell}$  равно 34. При вращении шаблона по часовой стрелке выделенный квадрат (см. рис. 5) растягивается как по часовой стрелке, так и против нее. При увеличении числа оборотов шаблона квадрат закручивается вокруг центра, вырождаясь в спиралевидную структуру. При этом деформации неограниченно увеличиваются. Скорость роста деформаций зависит от геометрических размеров и скорости вращения эллипса нагружения, но не зависит от вязкости.

Проведено сравнение полученного решения с результатами экспериментов [12] по сложному дифференциальному нагружению сыпучих сред. Известно, что при некоторых условиях нагружения сыпучие среды ведут себя как вязкая несжимаемая жидкость [11–13].



При этом движение сыпучей среды описывается уравнениями Навье — Стокса (1). В работе [12] приведены результаты экспериментов по эллиптическому деформированию сухого кварцевого песка при следующих параметрах деформирования:  $r_0 = 20,03$  мм,  $\omega t = 0,0947$ ,  $t_0 = 1,26$  с<sup>-1</sup>. Результаты нагружения представлены на рис. 6. Перед началом вращения шаблона черным песком была выделена полоса, расположенная под углом  $\varphi_0 = 33^\circ$  к горизонтальной оси. Эллиптический шаблон вращался против часовой стрелки ( $l = 1$ ).

При нагружении песка происходит проскальзывание на стенке, поэтому в расчетах параметр прилипания  $n = 0,35$ . Среда движется только в горизонтальной плоскости, деформация точек выделенной полосы описывается уравнениями (7). Сравнение экспериментальных и расчетных данных показывает, что они хорошо согласуются при малом количестве циклов нагружения (см. рис. 6, а, б). После 20 циклов нагружения различие расчетных и экспериментальных данных значительное (см. рис. 6, в). Это обусловлено тем, что сыпучие среды описываются уравнениями типа уравнений Навье — Стокса в приближении малых деформаций [11], с увеличением числа циклов нагружения деформации увеличиваются. Кроме того, при интегрировании уравнений (7) при большом количестве циклов нагружения точность решения ухудшается.

**Заключение.** Рассмотрено течение вязкой несжимаемой жидкости в деформирующейся трубке. Для течения при малых числах Рейнольдса в трубке (при условии малости деформирования стенок) получены решения нестационарных трехмерных уравнений Навье — Стокса: обобщенное перистальтическое течение и течение при эллиптическом деформировании стенок трубки.

Получено перистальтическое решение в трубке с эллиптическим сечением при несимметричном деформировании стенок и ненулевой угловой скорости течения. Данное решение расширяет класс перистальтических решений, при этом сохраняется второй порядок точности решения при первом порядке малости возмущений стенок сосуда.

Получено приближенное решение, описывающее течение в трубке при эллиптическом деформировании стенки сосуда. Установлено, что движение в трубке не зависит от вязкости жидкости, а определяется только скоростью вращения шаблона и степенью “сжатия” эллиптического шаблона. Результаты сравнения полученного решения с экспериментальными данными показывают, что при небольшом количестве циклов нагружения оно достаточно точно описывает поведение среды.

## ЛИТЕРАТУРА

1. **Педли Т.** Гидродинамика крупных кровеносных сосудов. М.: Мир, 1983.
2. **Регирер С. А.** О движении жидкости в трубке с деформирующейся стенкой // Изв. АН СССР. Механика жидкости и газа. 1968. № 4. С. 202–204.
3. **Регирер С. А.** Квазиодномерная теория перистальтических течений // Изв. АН СССР. Механика жидкости и газа. 1984. № 5. С. 89–97.
4. **Yin F. C. P., Fung Y. C.** Peristaltic waves in circular cylindrical tubes // Trans. ASME. J. Appl. Mech. 1969. V. 36. P. 579–587.
5. **Takagi D., Balmforth N. J.** Peristaltic pumping of rigid objects in an elastic tube // J. Fluid Mech. 2011. V. 672. P. 219–244.
6. **Багаев С. Н., Захаров В. Н., Маркель А. Л. и др.** Об оптимальном строении стенки кровеносных сосудов // Докл. АН. 2004. Т. 398, № 3. С. 331–334.
7. **Медведев А. Е., Самсонов В. И., Фомин В. М.** О рациональной структуре кровеносных сосудов // ПМТФ. 2006. Т. 47, № 3. С. 24–30.

8. **Медведев А. Е., Самсонов В. И., Фомин В. М.** Математическое моделирование течения крови в сосудах // Система кровообращения и артериальная гипертония: биофизические и генетико-физиологические механизмы, математическое и компьютерное моделирование / Отв. ред. Л. Н. Иванова, А. М. Блохин, А. Л. Маркель. Новосибирск: Изд-во СО РАН, 2008. Гл. 3. С. 80–105.
9. **Медведев А. Е.** Трехмерное движение вязкой несжимаемой жидкости в узкой трубке // ПМТФ. 2009. Т. 50, № 4. С. 28–32.
10. **Лойцянский Л. Г.** Механика жидкости и газа. 5-е изд. М.: Наука, 1978.
11. **Гольдштик М. А.** Процессы переноса в зернистом слое. Новосибирск: Ин-т теплофизики СО АН СССР, 1984.
12. **Ревуженко А. Ф.** Механика упругопластических сред и нестандартный анализ. Новосибирск: Новосиб. гос. ун-т, 2000.
13. **Краус Е. И., Лавриков С. В., Медведев А. Е. и др.** Моделирование эффекта дифференциального вращения при сложном нагружении сыпучих сред // ПМТФ. 2009. Т. 50, № 4. С. 139–149.

*Поступила в редакцию 12/V 2010 г.,  
в окончательном варианте — 14/XII 2012 г.*

---